

圓孔 notch 를 갖는 部材의 塑性變形舉動에 關한 研究

金 正 一

A Study on the Plastic Strain Behavior
of Hole Notched Plate

Kim Jeongill

〈目 次〉

- | | |
|----------------------------|--------|
| 1. 序 論 | 4. 考 察 |
| 2. 塑性 變形 舉動의 有限 要素法에 依한 解析 | 5. 結 譲 |
| 3. 實 驗 | 參考文獻 |

Abstract

Using the optical interference method, the plastic strain behavior and the progress of the through-the-thickness deformation around a hole notch tip for SS41 steel under the tensile load were observed continuously on the various size of hole notches.

The relationship between the plastic strain behavior and applied load was clearly explained.

Important results obtained are as follows:

- 1) The plastic strain behavior and the progress of the through-the-thickness deformation around a hole notch tip can be observed by the optical interference method.
- 2) If the ratio of hole notch diameter to specimen breadth is below 0.1, plastic flow process from the hole notch tip appears to the direction of 45° to the tensile axis. However, if that ratio is over 0.1, it appears perpendicular to the tensile axis.
- 3) Even if the plastic flow initiates at the hole notch tip, it spreads out stably to the specific zone, and then, the plastic flow grows up rapidly toward general yield.

1. 序 論

構造物의 最適 設計를 위해서는 外部로 부터 加해지는 荷重에 依한 部材의 彈性 및 塑性 變形舉動을 正確히 把握할 必要가 있다.

一般的な 境遇, 部材는 應力集中 部인 notch를 包含하고 있으므로 이러한 notch先端 領域의 彈塑性 變形 舉動은 構造物의 變形 및 破壞機構을 究明하는데 가장 重要한 要素이다. 即, 外部 負荷에 依해서 notch周圍에서 最初로 發生한 彈性的인 舉動이 어찌한 過程을 거쳐 塑性的인 舉動으로 遷移하여, 또한 部材 全體로 어떻게 퍼져 나가는가 하는 連續的인 過程을 正確히 把握할 必要가 있다.

지금 까지 notch를 갖는 부材의 变形挙動에 関해서는 많은 解析的研究結果가 報告가 되어 있다. 即, Hult, Koskinen, Allen과 Southwell, Stimpson과 Eaton에 等의 解析結果가 報告되어 있으며. 이들의研究結果는 어느 것이나 平板의 片側에 位置한 slit notch 또는 V notch先端에 있어서의 塑性变形挙動을 다루고 있다.¹⁾

引張荷重을 받는 板의 中央에 位置한 円孔 notch周囲의 応力과 变形에 对해서는 光弹性法²⁾ 또는 解析法³⁾에 依한 研究結果가 報告되어 있다. 이研究結果들은 簡略化한 弹性model下에서 이루어진 것이므로 応力에 对해 非直線性, 非加逆性을 갖는 塑性变形挙動에 对해서는 言及되어 있지 않다.

本研究에서는 中央에 円孔 notch를 갖는 부材에 对하여 引張荷重이作用할 때 Notch部近에서 最初로 塑性变形이 發生하여 그것이 全面降伏에 이르기 까지의 連続的過程을 有限要素法에 依한 解析 및 実驗을 通하여 考察하였다. 実驗은 光干涉法을 利用함으로써 塑性領域의 微視의 变化挙動을 直接 觀察하였으며 円孔 notch의 曲率半径의 变化에 따른 塑性变形挙動의 变化를 比較検討하였다.

2. 塑性变形挙動의 有限要素法에 依한 解析

2 · 1 荷重과 応力

有限要素法에 依한 応力과 变形率의 解析은 要素内任意의 一点의 变位와 变形率을 다음과 같이 近似的으로 節点들의 变位로써 表示할 수 있다는데 그 基礎를 두고 있다.⁴⁾

$$\{u\} = [N] \{q\} \quad (1)$$

$$\{\epsilon\} = [B] \{q\} \quad (2)$$

여기서, $\{u\}$: 要素内任意의 一点의 变位

$[N]$: 形状函数(shape function)

$\{q\}$: 節点의 变位

$\{\epsilon\}$: 要素内任意의 一点의 变形率

[B] : 要素의 幾何的 形態와 形狀函數에 따라 決定
되는 行列

한 要素에 作用하는 힘들의 平衡方程式은

$$\int_V [B]^T \{\sigma\} dv = \{F\} + \int_S [N]^T \{\bar{T}\} ds + \int_V [N]^T \{\bar{X}\} dv \quad (3)$$

여기서, $\{\sigma\}$: 应力

$\{F\}$: 節点力

$\{\bar{T}\}$: 表面力

$\{\bar{X}\}$: 質量力

그런데 塑性域에서는 应力과 变形率의 關係가 非線形일 뿐 아니라 荷重을 加할 때와 荷重을 除去할 때의 経路가 相異하다. 따라서 弹一塑性 解析에서는 荷重의 增分과 应力의 增分과의 關係를 利用하게 되므로⁵⁾ 式 (3)을 微分하면 다음과 같다.

$$\int_V [B]^T \{d\sigma\} dv = \{dF\} + \int_S [N]^T \{d\bar{T}\} ds + \int_V [N]^T \{d\bar{X}\} dv \quad (4)$$

2 · 2 应力 增分과 变形率 增分과의 關係

金属의 機械的 性質은 그 金属이 处하고 있는 條件에 따라 달라진다. 특히 이 機械的 性質은 温度에 敏感하게 反應한다. 应力과 变形率이 平衡 狀態에 있고 荷重의 變化가 없다 하여도 材料의 機械的 性質이 變한다면 그 平衡 狀態는 더 以上 維持되지 못하고 새로운 平衡 狀態를 이루기 위하여 应力과 变形率은 變하게 된다.

塑性 領域에서는 应力과 变形率의 履歷이 平衡 狀態에 影響을 미친다. 예를 들면 单純 引張時 应力を 加할 때와 除去할 때의 経路가 다르기 때문에 하나의 应力에 對應하는 变形率은 2 개 以上 있게 된다. 따라서 이러한 現象들을 考慮하기 위하여前述한 弹一塑性 解析에서는 荷重, 应力, 变形率의 增分들을 利用한다. 그러므로 应力과 变形率의 關係는 다음과 같다.⁴⁾

$$\{\varepsilon\} = [C^{\frac{e}{\varepsilon}}] \{\sigma\} + \{\varepsilon^i\} + \{\varepsilon^p\} \quad (5)$$

여기서, $[C^e]$: 弹性行列

$\{\epsilon^t\}$: 热变形率

$\{\epsilon^p\}$: 塑性变形率

이 式을 微分하면 다음 式을 얻는다.

$$\{d\epsilon\} = d[C^e]^{-1} \{\sigma\} + [C^e]^{-1} \{d\sigma\} + \{\alpha\} d\theta + \{d\epsilon^p\} \quad (6)$$

여기서, $\{\alpha\} : [\alpha, \alpha, \alpha, 0, 0, 0]^T$

α : 材料의 热膨胀係数

θ : 材料의 温度

弹性領域에서는 塑性变形率의 增分이 零 ($\{d\epsilon^p\} = 0$) 이므로 式 (6)에서 应力增分 $\{d\sigma\}$ 에 関하여 整理하면

$$\{d\sigma\} = [C^e] \{d\epsilon\} - \{dL_t^e\} \quad (7)$$

$$\text{여기서, } \{dL_t^e\} = [C^e] d[C^e]^{-1} \{\sigma\} + [C^e] \{\alpha\} d\theta$$

弹性領域과 塑性領域의 区別法은 다음과 같다.

어떤 应力 函数 $f(\sigma)$ 를 塑性变形 (plastic flow)의 判別式으로 正義하고 이 函数의 값이 $f_0(W_p, \theta)$ 에 이르면 塑性領域이 되고 其他는 弹性領域이다. f_0 의 값은 材料의 種類에 따라 다르며 塑性일 W_p 와 温度 θ 의 函数이다.

塑性領域에서는 塑性变形率의 增分 $\{d\epsilon^p\}$ 는 다음과 같다.⁵⁾

$$\{d\epsilon^p\} = d\lambda \left\{ \frac{\partial f}{\partial \sigma} \right\} \quad (8)$$

여기서, $d\lambda$: 正의 常数

$f(\sigma)$: 塑性变形 判別式

그리고 塑性变形이 일어나고 있는 동안에는 다음式이 成立한다.

$$f(\sigma) = f_0(W_p, \theta) \quad (9)$$

이 式을 微分하면 다음과 같다.

$$\left\{ \frac{\partial f}{\partial \sigma} \right\}^T \left\{ d\sigma \right\} = \frac{\partial f_o}{\partial w_p} dw_p + \frac{\partial f_o}{\partial \theta} d\theta \quad (10)$$

한편 塑性일의 增分 dw_p 는 다음과 같다.

$$dw_p = \{ \sigma \}^T \{ d\varepsilon^p \} = \{ \sigma \}^T d\lambda \left\{ \frac{\partial f}{\partial \sigma} \right\} \quad (11)$$

式(6), (8), (10), (11)로 부터 $d\lambda$ 를 求하면 다음과 같다.

$$\begin{aligned} d\lambda &= \frac{1}{S} \left(\left\{ \frac{\partial f}{\partial \sigma} \right\}^T [C^e] \{ d\varepsilon \} - \left\{ \frac{\partial f}{\partial \sigma} \right\}^T [C^e] d[C^e]^{-1} \{ \sigma \} \right. \\ &\quad \left. - \left\{ \frac{\partial f}{\partial \sigma} \right\}^T [C^e] \{ \alpha \} d\theta - \frac{\partial f_o}{\partial \theta} d\theta \right) \end{aligned} \quad (12)$$

$$\text{여기서, } S = \left\{ \frac{\partial f}{\partial \sigma} \right\}^T [C^e] \left\{ \frac{\partial f}{\partial \sigma} \right\} + \frac{\partial f_o}{\partial w_p} \{ \sigma \}^T \left\{ \frac{\partial f}{\partial \sigma} \right\}$$

式(12)의 $d\lambda$ 를 式(8)에 代入하고 $\{ d\varepsilon^p \}$ 를 求하여 式(6)에 代入한 다음 $\{ d\sigma \}$ 에 關하여 整理하면

$$\{ d\sigma \} = [C^{ep}] \{ d\varepsilon \} - \{ dL_t^p \} \quad (13)$$

$$\text{여기서, } [C^{ep}] = [C^e] - [C^e] \left\{ \frac{\partial f}{\partial \sigma} \right\} \left\{ \frac{\partial f}{\partial \sigma} \right\}^T [C^e] / S$$

$$\{ dL_t^p \} = [C^{ep}] (d[C^e]^{-1} \{ \sigma \} + \{ \alpha \} d\theta) - \frac{1}{S} [C^e] \left\{ \frac{\partial f}{\partial \sigma} \right\} \frac{\partial f_o}{\partial \theta} d\theta$$

式(7)과 式(13)을 比較하면 应力 增分과 变形率 增分과의
關係는 다음과 같다.

$$\{ d\sigma \} = [C] \{ d\varepsilon \} - \{ dL_t \} \quad (14)$$

弹性 領域에서는 $[C] = [C^e]$, $\{ dL_t \} = \{ dL_t^e \}$ 이고, 塑性領域에서는 $[C] = [C^{ep}]$, $\{ dL_t \} = \{ dL_t^p \}$ 이다.

2 · 3 剛性 行列와 荷重 vector

式(2)를 微分하면

$$\{ d\varepsilon \} = [B] \{ dq \} \quad (15)$$

이 式을 式 (14)에 代入하면 다음과 같다.

$$\{d\sigma\} = [C][B] \{dq\} - \{dL_t\} \quad (16)$$

式(16)을 式(4)에 代入하여 整理하면 다음과 같다

$$[K] \{dq\} = \{dL\} \quad (17)$$

$$\text{여기서, } [K] = \int_V [B]^T [C] [B] dv$$

$$\begin{aligned} \{dL\} = & \int_V [B]^T \{dL_t\} dv + \{dF\} + \int_s [N]^T \{d\bar{T}\} ds \\ & + \int_V [N]^T \{d\bar{X}\} dv \end{aligned}$$

式(17)은 어느 한 要素에 作用하는 荷重 增分 $\{dL\}$ 과 그 要素의 節点 变位 增分 $\{dq\}$ 와의 関係를 나타낸 것으로, 剛性行列 $[K]$ 와 荷重 vector $\{dL\}$ 를 全 要素에 对하여 組立(assemblage)하고, 境界 条件에 따라 修正(modification)하면 变位 增分 $\{dq\}$ 가 求해진다. 이것을 式(15)에 代入하여 变形率 增分 $\{de\}$ 를 求하고, 式(16)에 代入하여 応力 增分 $\{d\sigma\}$ 를 求한다.

2 · 4 von Mises 的 判別式에 依한 平面応力 狀態의 二次元 応力 解析

式(17)에서 剛性 行列 $[K]$ 를 求하려면 $[C]$ 를 알아야 하는데, 弹性 領域에서는 $[C] = [C^e]$ 이므로 平面 応力 狀態下의 二次元 応力 解析의 境遇에는 다음과 같다.⁴⁾

$$[C^e] = \frac{E}{1-\nu^2} \begin{bmatrix} 1 & \nu & 0 \\ \nu & 1 & 0 \\ 0 & 0 & \frac{1-\nu}{2} \end{bmatrix} \quad (18)$$

여기서, E ; young 係數

ν ; poisson 比

塑性 領域에서는 $[C] = [C^{ep}]$ 이므로 $[C^{ep}]$ 를 求하려면 塑性 变形 判別式이 利用되는데 本 稿에서는 von Mises 的 判別式을 利用하고자 한

다.

von Mises 의 塑性 变形 (plastic flow) 判別式 $f(\sigma)$ 는 剪斷 变形 에 너지 (distortion energy) 이다.⁵⁾ 平面 应力 狀態下의 二次元 应力 解析 的 境遇 判別式 $f(\sigma)$ 는 다음과 같다.

$$f(\sigma) = \frac{1}{12G} \{ (\sigma_x - \sigma_y)^2 + \sigma_y^2 + \sigma_x^2 + 6\tau_{xy}^2 \} \quad (19)$$

여기서, G ; 剪斷 弹性係數

i) $f(\sigma)$ 的 值이 单純 引張時 弹性 限界의 剪斷 变形 에너지 와 같으면 塑性 变形이 일어난다고 看做한다.⁵⁾

单純 引張時 弹性 限界를 σ_0 라 하면 弹性 限界에 서의 剪斷 变形 에너지 $u_1 \approx u_1 = \frac{1}{6G} \sigma_0^2$ (20)

式 (20) 과 式 (19) 를 等置시켜 다음 式을 얻는다.

$$\sigma_0 = \sigma_e \quad (21)$$

$$\text{여기서, } \sigma_e \text{ (等価應力)} = \frac{1}{\sqrt{2}} \sqrt{(\sigma_x - \sigma_y)^2 + \sigma_y^2 + \sigma_x^2 + 6\tau_{xy}^2}$$

式 (21) 에 依하면 塑性 变形이 일어나고 있는 동안에는 等価 应力 σ_e 가 单純 引張時의 弹性 限界 σ_0 와 같다. 따라서 σ_e 가 σ_0 보다 작은 領域 ($\sigma_e < \sigma_0$) 은 弹性 領域이고, σ_e 가 σ_0 보다 크거나 같은 領域 ($\sigma_e \geq \sigma_0$) 은 塑性 領域이다.

式 (19) 를 式 (13) 의 $[C^{ep}]$ 와 $\{dL^D_t\}$ 에 代入하여 整理하면 다음과 같다.

$$[C^{ep}] = [C^e] \frac{2G^2}{(1-\nu) GS' + 2(1-\nu^2) H' \sigma_e^2} \quad \{Pc\} \{Pc\}^T \quad (22)$$

$$\{dL_t^p\} = [C^{ep}] (d[C^e]^{-1} \{\sigma\} + \{a\} d\theta) - \frac{2G\sigma_e}{GS' + 2H'(1-\nu)\sigma_e^2} \frac{\partial \sigma_e}{\partial \theta} d\theta \{p_c\} \quad (23)$$

$$\text{여기서, } S' = (5-4\nu)(\sigma_x^2 + \sigma_y^2) - (8-10\nu)\sigma_x\sigma_y + 18(1-\nu)\tau_{xy}^2$$

$$H' = \frac{\partial \sigma_0}{\partial \bar{\varepsilon}_p}$$

$\bar{\varepsilon}_p$: 單純 引張時 塑性 变形率

$$\{P_c\} = \begin{Bmatrix} (2-\nu)\sigma_x - (1-2\nu)\sigma_y \\ (2-\nu)\sigma_y - (1-2\nu)\sigma_x \\ 3(1-\nu)\pi_{xy} \end{Bmatrix}$$

2. 5 塑性 变形 挣動의 解析

有限要素法에 依한 弹一塑性 応力 解析을 두께가 3mm, 幅이 28mm 인
軟鋼材의 中央에 凹孔이 있는 境遇에 適用했다. 本 model 은 上下 左
右가 対称이기 때문에 Fig. 1 과 같이 凹孔을 포함한 全 材料의 1/4
에 対하여 解析하고 凹孔 周囲의 塑性域을 計算하였다.

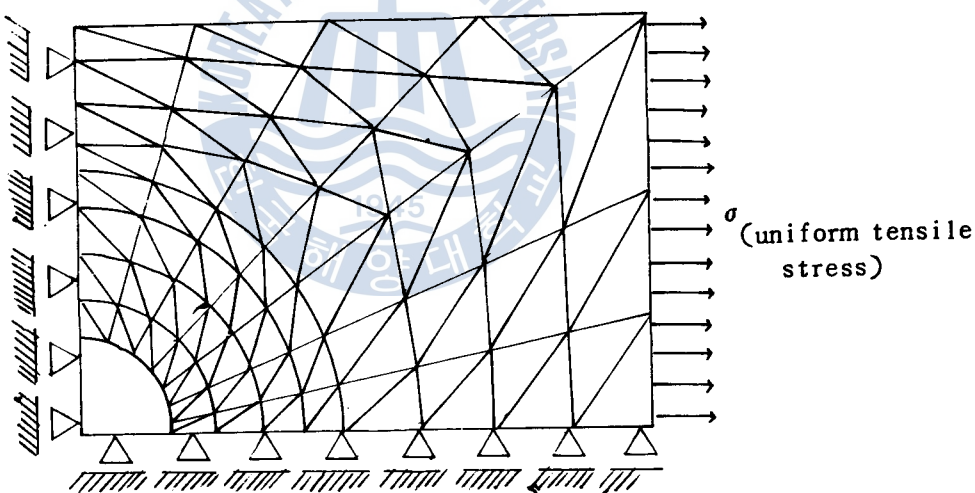


Fig. 1 Divided element around a notch tip and boundary condition

Fig. 1에 서와 같이 model 을 三角形 要素로 分割하는데 있어 応力의
變化가 심할것 같아豫想되는 凹孔 周囲의 要素 分割은 더욱 細分化하였
다.

円孔에서 充分히 떨어진 곳에서 均一 引張 应力 (uniform tensile stress) 이 作用한다고 假定하여 이 应力의 微少한 增加에 对応하는 塑性域의 要素番号를 表示하도록 함으로써 塑性域을 알 아낼 수 있었다. 式(17)에서 应力이 作用하는 동안 温度變化가 없다 ($d\theta = 0$)고 하면 $\{dL_t\} = 0$ —————— (24)

本 model 에서는 質量力은 無視할 수 있으므로

$$\{dX\} = 0 —————— (25)$$

荷重은 圓孔에서 充分히 떨어진 곳의 均一 引張 应力 뿐이므로 節点力を組立하면 零이 되므로 式 (17)에서

$$\{dL\} = \int_S [N]^T \{d\bar{T}\} ds —————— (26)$$

model 的 境界 条件은 Fig. 1 과 같이 对称軸에 垂直 方向 变位를 零으로 놓았다.

3. 実験

3 · 1 光干涉法의 测定原理⁶⁾

光源上의 一点으로 부터 나온 빛이 두 部分으로 나누어져 両者が 서로 다른 径路를 通해 다시 合해 질때에는 干涉 現象이 일어난다. 이 両光의 振幅을 각각 A_0, B_0 라고 하면 干涉光의 세기는

$$I = A_0^2 + B_0^2 + 2A_0B_0 \cos\varphi —————— (1)$$

로 表示된다.

式(1)에서 φ 는 A 光과 B 光의 位相差이고 이것은 다시

$$\varphi = \frac{2\pi r}{\lambda} + x —————— (2)$$

로 주어진다.

여기서, r : A 光과 B 光의 光路差

x : 途中에 反射를 받았을 때 생기는 位相变化의 差

λ : 光源의 波長

式 (1)은 $\cos \varphi = 1$ 일때 最大이고, $\cos \varphi = -1$ 일때 最少이므로 光源에 单色光을 利用하면 最大일때 밝고, 最少일때는 어두워 지므로 明暗의 干涉 무늬가 생긴다.

光干渉法에 依한 試材의 strain 测定은 测定用 光束을 2분하여 그 중 한 쪽의 光束을 試片의 表面에서 反射시켜 干涉무늬가 생기도록 한다. 이 때에 試片의 表面에 凹凸의 變化가 생기면 光路 差에 變化가 생기므로 干涉 무늬의 橫様이 變化한다. 이것을 利用하여 試片 表面의 strain 分布를 测定할 수 있다.

Fig. 2는 optical flat에 依한 光干渉을 일으키기 위한 光学系이다. 또한 Fig. 3은 optical flat과 試片 表面과의 사이에서 光干渉 무늬가 생기는 原理를 나타낸 것이다.

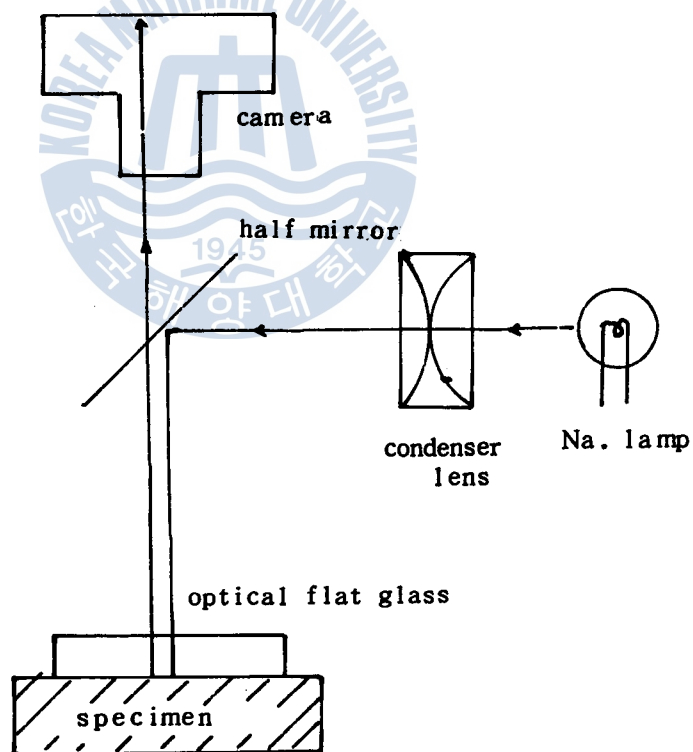


Fig. 2 optic system for observing optical interference fringes

fig. 3 (A) 와 같이 試片 表面에 凹部 CE 가 있고 그 위에 optical flat 가 놓여 있다고 하면 half mirror 로 부터 나오는 빛은 一部는 optical flat 의 底面 A에서 反射하고 一部는 試片의 表面 B 까지 到達한 후 거기서 反射하게 된다. 이 때에 A에서 反射한 光束과 B에서 反射한 光束 사이에는 π 의 位相 变化 差가 생기므로 式(2)에 있어서의 位相 差는

$$\varphi = \frac{2\pi r}{\lambda} + \pi \quad (3)$$

로 表示된다. 또한 式(1)에 있어서 光源에 单色光을 利用하면 $\cos \varphi = 1$ 이면 光의 세기 I는 最大로 되고, $\cos \varphi = -1$ 에서 最少로 되어 각各 明暗의 출 무늬가 생긴다. 그러므로

$$\cos \varphi = 1 \text{ 일 때는}$$

$$\varphi = \frac{2\pi r}{\lambda} + \pi = 2p\pi, \quad p = 0, \pm 1, \pm 2 \text{ 로 되여 明이 된다.} \quad (4)$$

$$\cos \varphi = -1 \text{ 일 때는}$$

$$\varphi = \frac{2\pi r}{\lambda} + \pi = (2p+1)\pi, \quad p = 0, \pm 1, \pm 2 \text{ 로 되여 暗이 된다.}$$

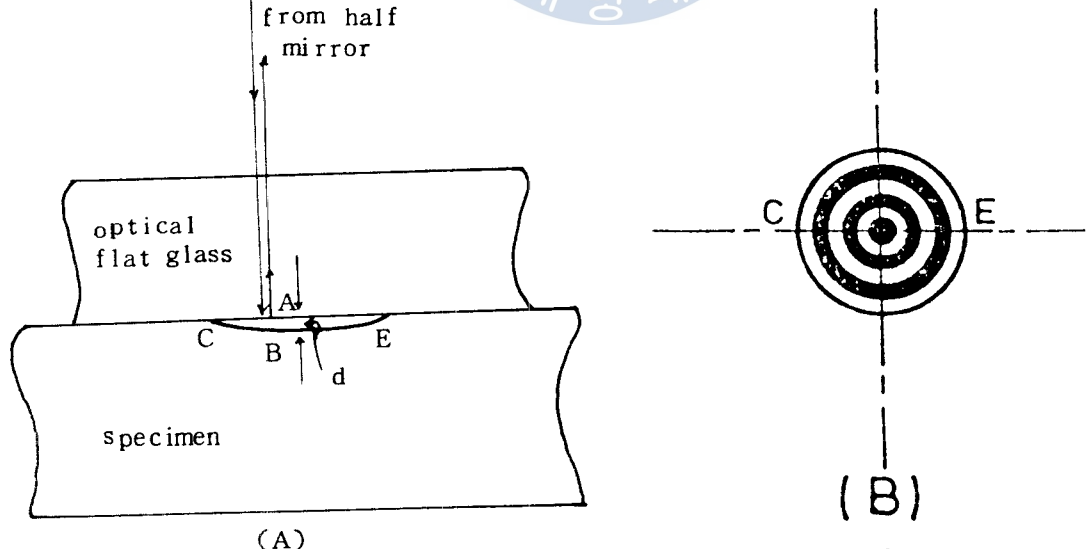


Fig. 3 Principle for optical interference fringes (B)

Fig. 3 (A)의 境遇 凹部의 깊이를 d 라고 하면 式(3)에 있어서 光路差 r 는 $2d$ 가 되므로 式(4)에 依해서 明環의 境遇에는

$$d = \frac{\lambda}{2} \left(p - \frac{1}{2} \right), \quad p = 0, \pm 1, \pm 2 \quad (5)$$

即 Fig. 3 (B)에 있어서 明環과 明環사이의 거리는 $\frac{\lambda}{2}$ 의 order로 되여 있다.

暗環의 境遇는

$$d = \frac{\lambda}{2} \cdot p, \quad p = 0, \pm 1, \pm 2 \quad (6)$$

로 되어 暗環과 暗環사이에도 $\frac{\lambda}{2}$ 의 order로 되여 있다.

마라서 試片 表面의 变形量 d 는 $\frac{\lambda}{2}$ 의 order로 测定이 可能하다

3 · 2 実験方法

試片은 SS 41 軟鋼材이고 化学 成分과 機械的 性質은 Table 1 과 같고 試片의 形狀은 Fig. 4 와 같다.

試驗 裝置는 自作 lead screw 式 手動 引張機이며 試片에 加해지는 均一 応力은 試片에 strain gauge 를 附着하여 测定하였다. 또한 応力의 增加에 따른 塑性域의 伝播 過程은 光干涉法에 依해 連續的으로 觀察하였다. 実験 裝置의 全景은 Fig. 5 와 같다.

Chemical compositions (Wt %)					Mechanical properties		
C	Si	Mn	P	S	Y.P (kg/mm ²)	T.S (kg/mm ²)	E1 (%)
0.176	0.04	0.50	0.009	0.021	30	44.4	36

Table I. Chemical compositions and mechanical properties of materials.

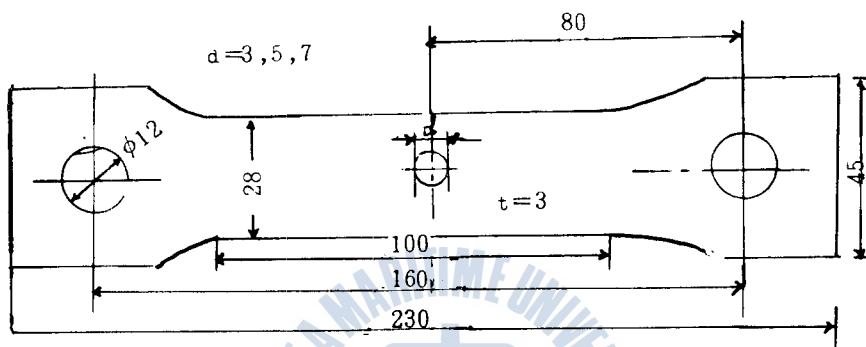


Fig. 4 Dimension of specimen

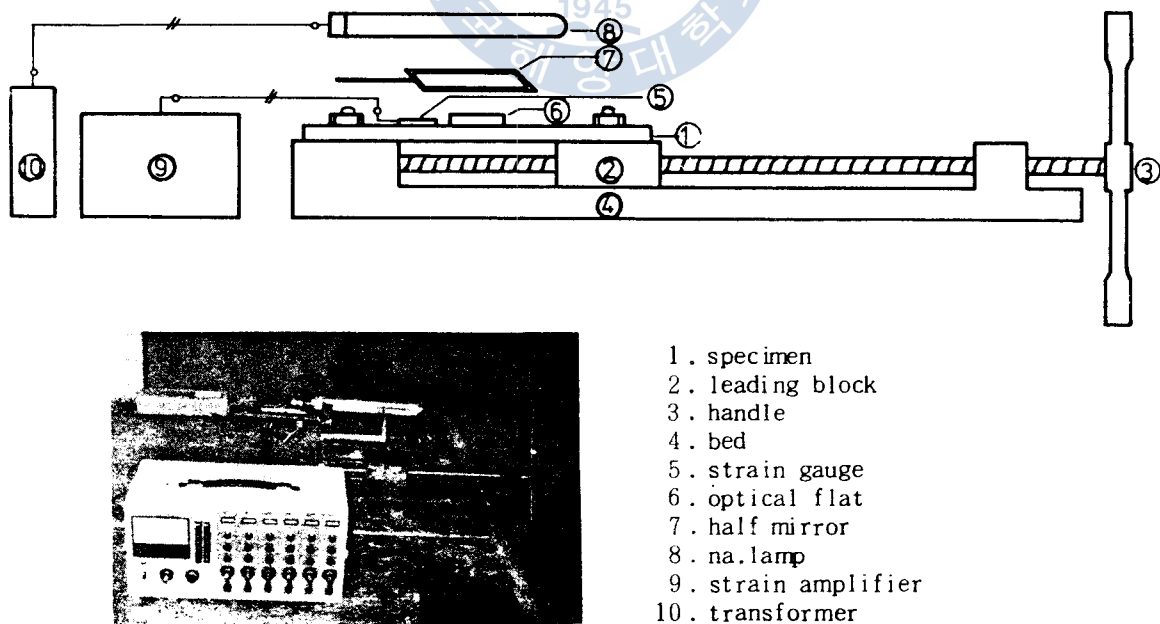


Fig. 5 Photo and schematic diagram of tensile tester

3 · 3 実験結果

Fig. 6 및 Fig. 7 은 直径 3 mm, 5 mm 및 7 mm 円孔 notch 를 갖는 試片에 对한 光干涉에 依한 塑性 領域의 伝播 過程을 連続的으로 觀察한 結果이다.

応力의 增加에 따라 円孔 notch 周囲에는 光干涉 무늬의 密集 現象이 나타나고, 이러한 密集 現象이 나타나는 領域은 直径 3 mm notch 的 境遇에 試片의 引張軸에 对하여 約 45° 方向, 直径 5 mm, 7 mm notch 的 境遇에는 直角 方向으로 伝播됨이 觀察된다. 여기서 光干涉 무늬의 密集 領域은 塑性 变形으로 因하여 試片의 두께 方向으로 necking 現象이 일어난 領域으로 이 領域이 바로 塑性 領域이다.

이 結果에 依하면 本 実験의 境遇와 같이 necking zone이 뚜렷이 나타나는 材料의 境遇에는 円孔 notch 周囲에 最初로 塑性 領域이 發生한 後에도 그것이 一定 길이에 伝播되기 까지는 매우 緩慢히 進行되며 一定 길이에 到達한 以後에는 比較的 短 時間內에 全面 降伏에 이르고 있음이 Fig. 6에서 觀察된다. 또한 塑性 領域의 伝播 過程은 試片의 幅 (B) 와 円孔 notch 的 直径 (D) 와의 比 D/B 에 따라서 달라짐이 觀察된다. 即 D/B 의 값이 0.1인 直径 3 mm notch 的 境遇에는 引張軸에 对하여 45° 方向으로 塑性 变形이 일어나고 있으나, D/B 의 값이 0.1以上인 直径 5 mm 및 7 mm notch 的 境遇에는 引張軸에 对하여 直角 方向으로 塑性 領域이 나타나서 全面 降伏에 이르고 있음이 Fig. 7에서 觀察된다.

一般的으로 notch 가 없는 平滑 板材의 境遇, 即 D/B 가 零인 境遇에는 引張軸에 对하여 45° 方向으로 slip 가 發生하여 塑性 变形이 일어난다는 것은 잘 알려진 事実이다. 따라서 D/B 의 값이 0.1 以下인 境遇의 塑性 变形 挙動은 notch 的 影響을 거의 받지 않으나, 그 以上的 값에서는 引張軸에 对하여 直角 方向인 試片의 幅, 即 最少 斷面積 方向으로 塑性 領域이 伝播되어 变形된다는 것을 알 수 있다.

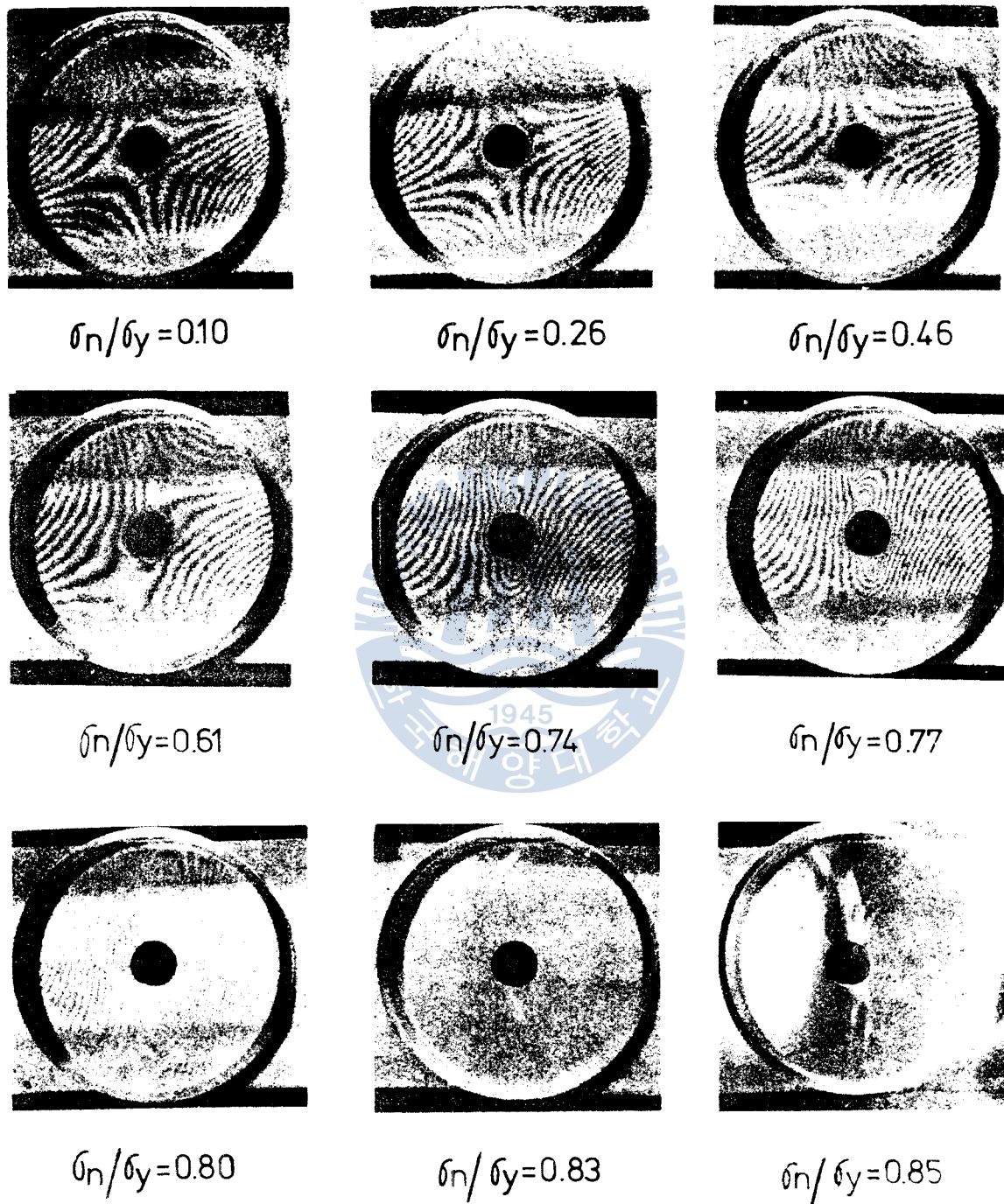


Fig. 6 Progress behaviors of plastic flow process by optical interference method. ($d = 5\text{mm}$)

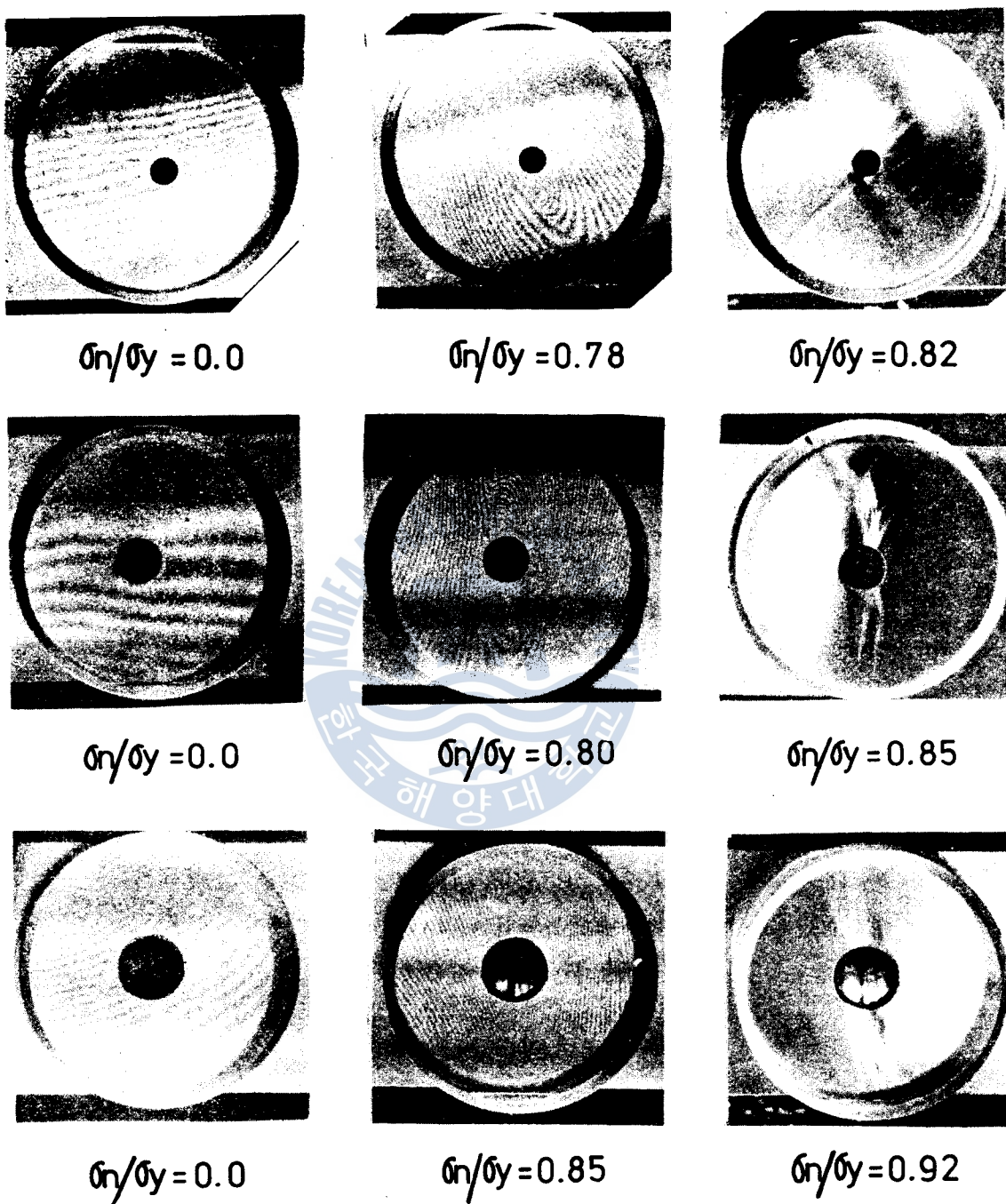


Fig.7 Progress behaviors of plastic flow process by optical interference method. ($d = 3, 5, 7 \text{ mm}$)

또한 Fig. 8로 부터 円孔 notch周圍에 最初로 塑性 变形이 發生할 때의 試片에 作用하는 平均 応力を 測定 함으로써 試片의 降伏 応力과의 相關 関係를 利用하여 notch의 応力 集中 係數(stress concentration factor)를 求할 수 있다.

3 · 4 Notch周圍의 応力 集中 係數

Fig. 8은 3 mm, 5 mm 및 7 mm 円孔 notch周圍에 塑性 变形이 最初로 發生할 때 干涉 무늬의 模様을 摄影한 것이다. 이때 各試片의 最少 断面積에 있어 서의 公称 応力を 求하여 材料의 降伏 応力과의 相關 関係를 利用하여 応力 集中 係數를 求하면 다음과 같다.

$$\alpha = \frac{\sigma_y}{\sigma_n}$$

여기서, α : 応力 集中 係數

σ_y : 材料의 降伏 応力

σ_n : notch周圍에 塑性 变形이 最初로 發生할 때의
最少 断面積에 서의 公称 応力

Fig. 9는 本 実験에서 求한 応力 集中 係數와 지금까지 報告된 研究結果를 比較 对照한 것이다. 이 对照 結果에 依하면 光干涉法에 依하여 実験的으로 求한 応力 集中 係數는 Howland, Coker等의 光弹性法 및 解析法 等의 結果로 求한 7) 과 거의 같은 傾向을 보이고 있다. 또 이 結果로 부터 試片의 中央에 設置한 円孔 notch의 直径이 커짐에 따라 応力 集中 係數는 작아지고 있다는 것을 알 수 있다.

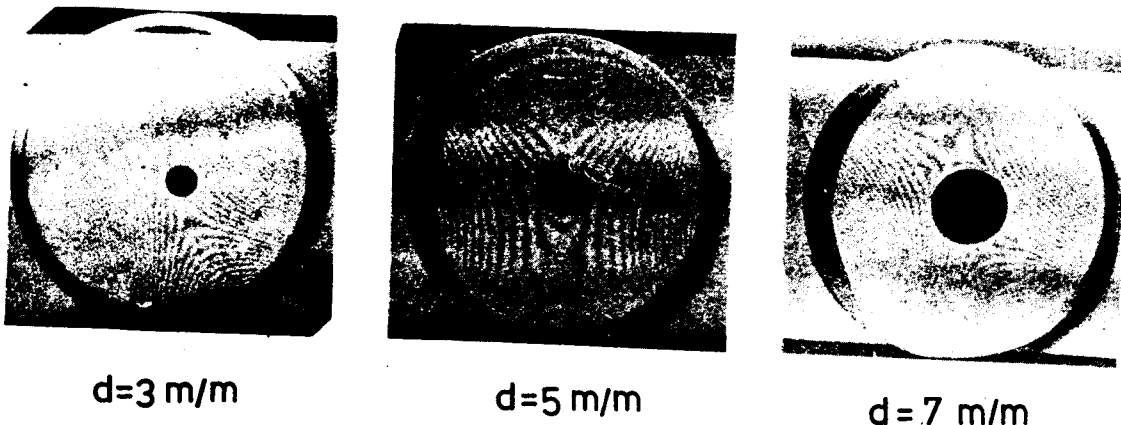
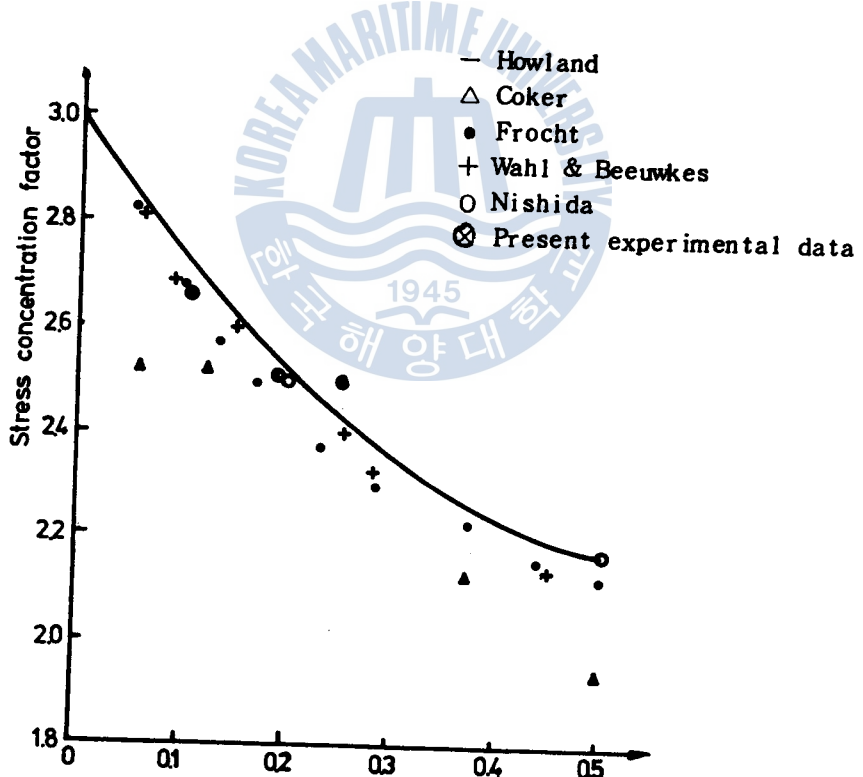


Fig.8 Origin of plastic flow at notch tip.



Dia. of notch/Breadth of specimen

Fig.9 Stress concentration factor vs. D/B.

4. 考 察

Fig. 10 은 試片 中央에 直径 3 mm 의 圓孔 notch 가 있는 境遇와 5 mm 의 圓孔 notch 가 있는 境遇에 塑性域의 伝播 挙動을 有限 要素法에 依해 求한 結果를 圓孔 notch 的 $1/4$ 面 表示한 것이다.

이것을 檢討하면, 直径 3 mm notch 的 境遇에는 引張軸에 對하여 45° 方向으로 塑性 变形이 集中的으로 發生하고, 直径 5 mm notch 的 境遇에는 方向에는 引張軸에 對하여 直角 方向으로 塑性 变形이 一定질이 만큼 發生한 後 45° 方向으로 全面 降伏에 이르고 있음을 알 수 있다.

有限 要素法에 依한 以上의 解析 結果와 Fig. 7의 實測 結果를 比較 檢討해 보면, 塑性 領域의 模様에는 差異가 있으나 応力의 增加에 따른 塑性 变形의 伝播 経路에는 비슷한 樣相을 나타내고 있다. 塑性 領域의 模樣에 差異가 나타난 것은 試材가 下降伏 現象 및 "Rüders band" 가 뚜렷이 나타나는 SS41 軟鋼材이나, 有限 要素法에 依한 解析에 있어서는 이것이 考慮되지 않았기 때문인 것으로 推察되나 앞으로 좀 더 徹底한 究明이 期待된다.

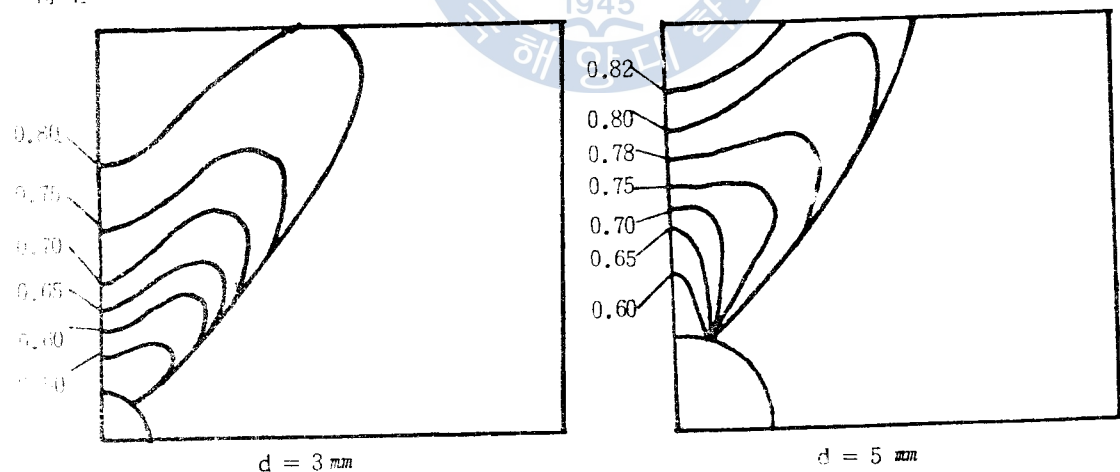


Fig.10 Progress behaviors of plastic flow process
by finite element method.

5. 結論

研究結果를 整理하면 다음과 같다.

- ① 光干涉法에 依하면 notch周囲의 塑性域의 伝播 挙動을 連続的으로 觀察할 수 있고, 그 notch周囲의 応力集中係數도 求할 수 있다.
- ② 試片의 幅 (B)와 円孔 notch의 直径 (D)의 比, 即 D/B 의 値이 0.1 以下이면 引張軸에 對하여 45° 方向으로 塑性 变形이 일어나고, 그 以上에서는 引張軸에 直角 方向으로 塑性 变形이 進行됨을 알 수 있다.
- ③ notch部에서 塑性 变形이 発生한 後에도 그 变形이 一定한 길이 까지 伝播되는데는 매우 緩慢하고 安定的인 挙動을 보인다. 따라서 構造物의 設計를 現在 使用하고 있는 弹性 領域內 制限으로 부터 塑性 領域內 까지로 拡大하면 材料의 節約을 図謀할 수 있다.

參考文獻

- 1) W.W. Gerherich : Plastic Strain and Energy Density in Cracked plate part1, Exp. Mech., Vol.11, p.335, (1964)
- 2) 西田正孝 : 応力集中, 森北出版, 東京, p.221, (1967)
- 3) R.C.J. Howland : On the Stresses in the Neighbourhood of a Circular Hole in a Strip under Tension, phil. Trans. Roy. Soc. A, Vol.229, p.48, (1930)
- 4) O.C. Zienkiewicz : The Finite Element Method, McGraw-Hill, London, p.24, (1977)
- 5) R.A.C. Slater : Engineering Plasticity, The Macmillan Press. Ltd., London, p.111, (1977)
- 6) 金永植 : 光干涉法을 利用한 스트레인 分布의 測定, 大韓機械學會誌, Vol.19, No.3, p.182, (1979)
- 7) R.G.Belie & F.J.Appl : Stress Concentration in Tensile Strips with Large Circular Holes, Exp. Mech., Vol.12, pp.190 ~ 195, (1972)